

С. И. Голенищев, К. И. Букина, Ф. В. Новожеевской, Е. В. Фомина,
Г. И. Шеремалова, Л. В. Анисимова, Г. Л. Мыльникова, Э. А. Третьяк,
В. С. Хромовских, Р. А. Крушин, М. Г. Демьянович,
В. В. Николаев

Землетрясение в Прибайкалье

Сеть сейсмических станций. В 1970 г. регистрация землетрясений Прибайкалья и Забайкалья проводилась в основном той же сетью станций, что и в предыдущем 1969 г., но число станций несколько уменьшилось. В феврале 1970 г. была закрыта станция Баргузин, в мае — Кяхта, Алла, временная сейсмическая станция Хадим. Вследствие этого ухудшились условия регистрации в южном Прибайкалье, в районах Среднего Байкала и Баргузинской впадины. Вместе с тем с июня начались регулярные сейсмические наблюдения в Чите, летом 1970 г. была открыта временная сейсмическая станция в пос. Тында на западе Амурской области. Аппаратура сейсмической станции в Чите состоит из двух сейсмографов механической регистрации (СМГР) и сейсмографов СКМ с гальванометрами ГК-VII. Из-за высокого уровня помех увеличение комплекта СКМ + ГК-VII здесь невелико (около 6 тыс.), а частотная характеристика никообразна (с максимумом на периоде ~ 1 сек.).

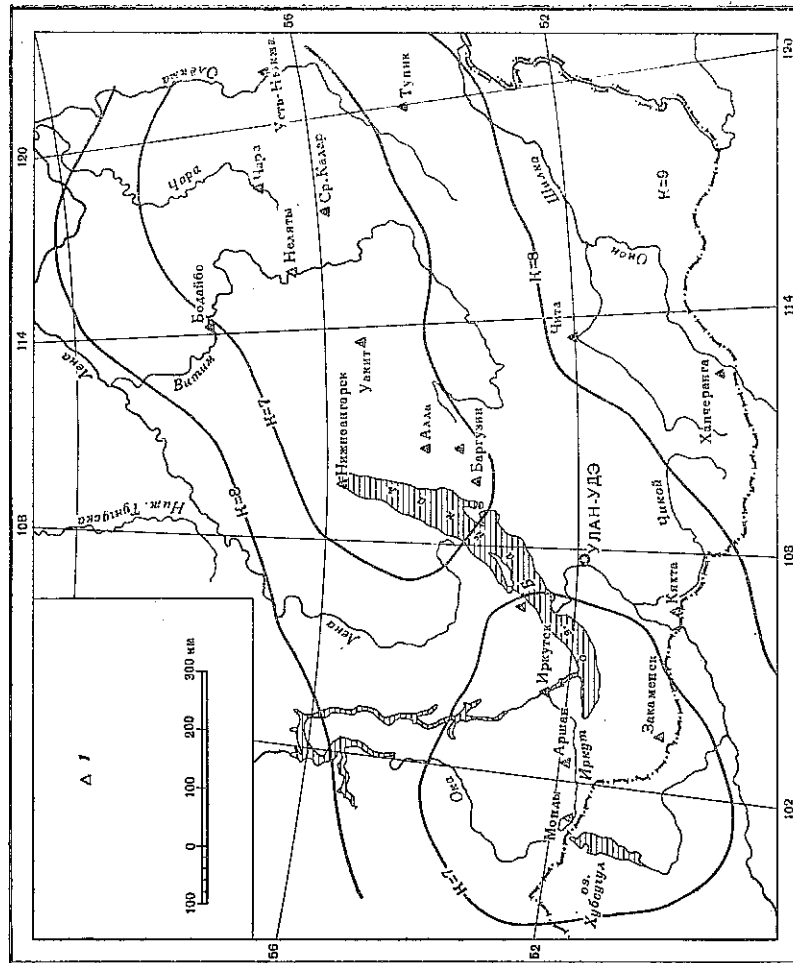
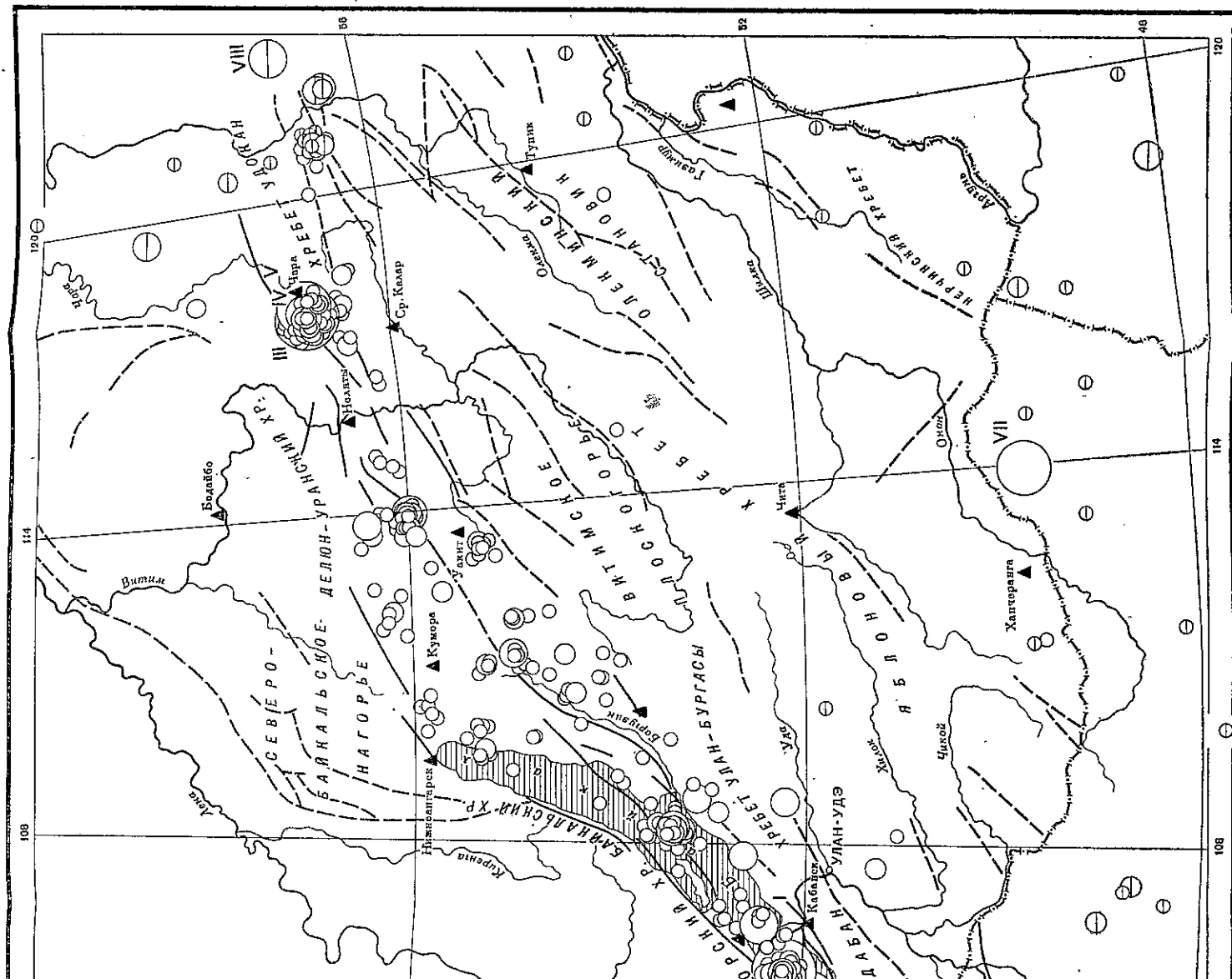


Рис. 1. Карта представительности землетрясений Прибайкалья (составлена В. М. Кочетковым и Л. Р. Леонтьевой)
1 — сейсмические станции



На
в ста
менске
ченни,
В с
станци
Б. В.
устанс
кой ви
+ ГК.
и 10 тг
~ 4.5
М.
в 1970
на ра
1967—
карта
матери
талосф
стрир
четыр
Ка
тельни
класса
частях
пуска
обоснс
торгая
О.
в 19
содер
прине
земле
В.
высок
гии п
В.
искил
емого
татов.
ковым
на себ
них ли

№
1
2
3
4
5
6
7
8

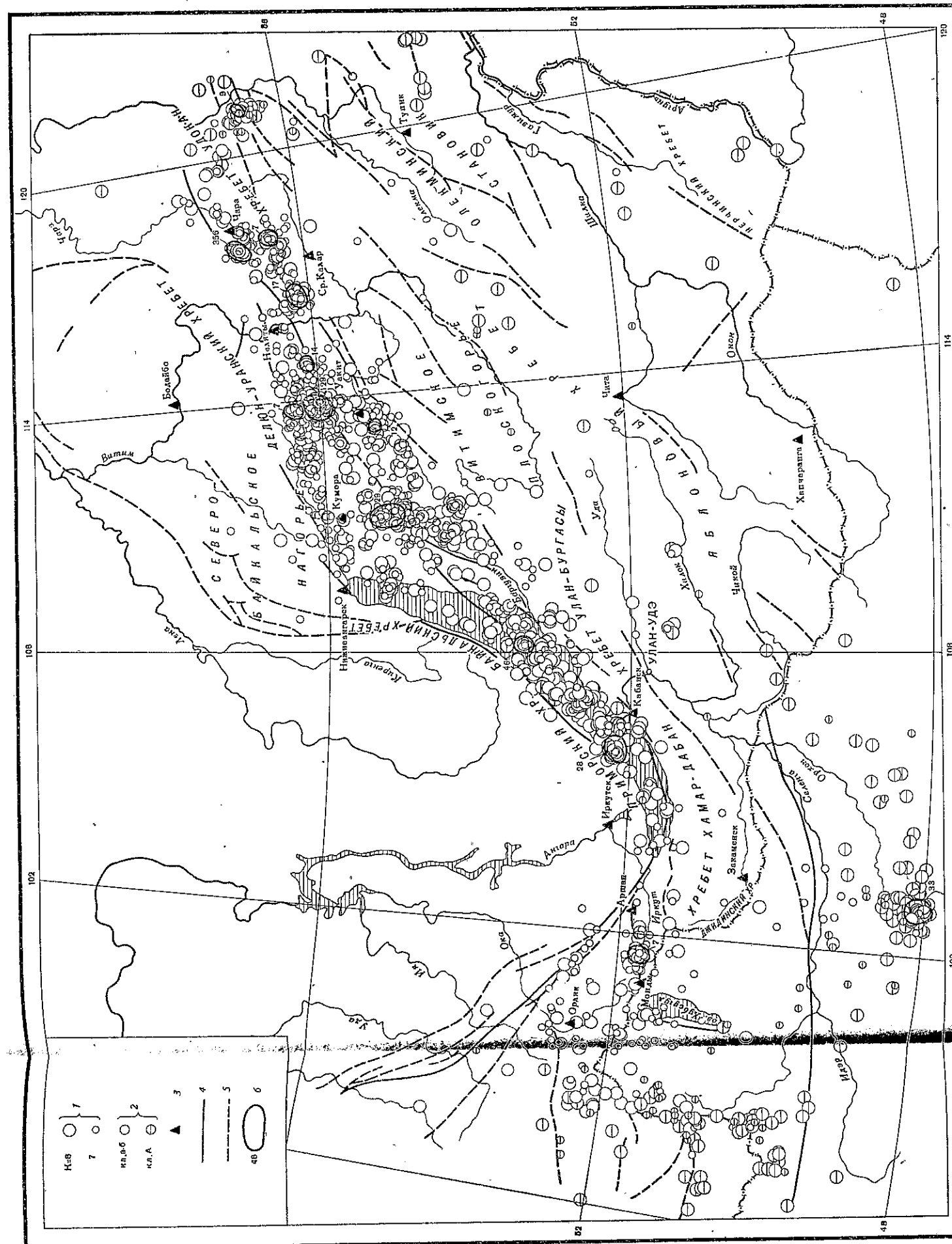


Рис. 3. Карта эпицентров землетрясений Прибайкалья с K=7-8 за 1970 г.

- 1 — энергия землетрясений;
2 — разломы;
3 — точность определения эпицентра, не нанесенных на карту из-за большой их плотности;
- 4 — сейсмические станции;
- 5 — актинизированные разломы;
- 6 — число эпицентров, не нанесенных на карту из-за большой их плотности;
- 7 — сейсмические станции;
- 8 — актинизированные разломы.

На станции в Тынде установлено аппаратура СКМ-3 + ГК-VII в стандартном для Прибайкалья режиме (при уровне увеличения ~ 50 тыс.). В 1970 г. дополнительно установлены: приборы СМТР в Закаменске, С5С + ГК-VII в Бодоне (непрерывная регистрация при увеличении, несколько превышающем 1 тbs.).

В связи с переводом в мае 1970 г. в новое помещение на сейсмической станции Иркутск прекращена регистрация с помощью сейсмографов Б. Б. Голицына, но дополнительно к функционировавшей аппаратуре установлен комплект СКМ-3 + ГК-VII и начата регистрация установкой видимой записи (Н-002 + СКМ-3). Увеличение каналов СКМ-3 + ГК-VII составляет в ночные и дневные времена соответственно ~ 18 тыс. и 10 тыс. при пикообразной характеристистике с максимумом при периодах $\sim 1,5$ сек.

Методика обработки наблюдений и схема условного деления зоны в 1970 г. методика обработки наблюдений и схема условного деления зоны на районы подробно описаны в обзорах сейсмичности Прибайкалья за 1967—1969 гг. [1—3]. В дополнение к этим описаниям на рис. 4 приводится карта представительности землетрясений Прибайкалья, составленная по материалам наблюдений за последние годы. При составлении карты считалось, что землетрясение каждого энергетического класса будет зарегистрировано (эпипцентр занесен в каталог), если оно уверенно записано на четырех сейсмических станциях.

Как следует из карты, в Байкальской рифтовой области представительные землетрясения с 8-го, а во всей зоне — с 9-го энергетического класса. На значительных площадях в северо-восточной и юго-западной частях Байкальского рифта должны регистрироваться без заметных пропусков и землетрясения 7-го класса. При составлении карты счищалось, что землетрясение каждого энергетического класса будет зарегистрировано (эпипцентр занесен в каталог), если оно уверенно записано на четырех сейсмических станциях.

Особенности сейсмичности Прибайкалья в 1970 г. были более высокой, чем в 1969 г. Распределение всех землетрясений 1970 г. по энергии представлено в табл. 2.

В целом сейсмическая активность в Прибайкалье в 1970 г. была более высокой, чем в 1969 г. Полный каталог землетрясений Прибайкалья в 1970 г. содержит 3491 толчок, каталог землетрясений с 9-го энергетического класса, приведенный в настоящей статье, — 337 эпизентров. Наиболее сильные землетрясения с $K \geq 12$ перечислены в табл. 1.

Таблица 1
Список наиболее сильных землетрясений Прибайкалья ($K \geq 12$) в 1970 г.

№	Дата	Момент землетрясения, ч. м. с.	Координаты эпипцентра, °N	K	Макс. толчок	Глубина, км
1	27.III	9 43 42	52.46	12	6	10—15
2	28.III	9 44 57	52.20	106.67	6	6
3	15.V	20 50 12	56.84	105.92	14	15
4	16.V	14 56 43	447.74	14	5,5	
5	18.V	14 36 40	56.82	117.84	12	
6	13.VIII	19 26 53	56.87	117.87	13	6
7	3.IX	18 59 27	51.95	105.53	13	4,8
8	23.X	23 31 03	49.67	143.96	4,5	6
			56.84	122.66	12	
			A			

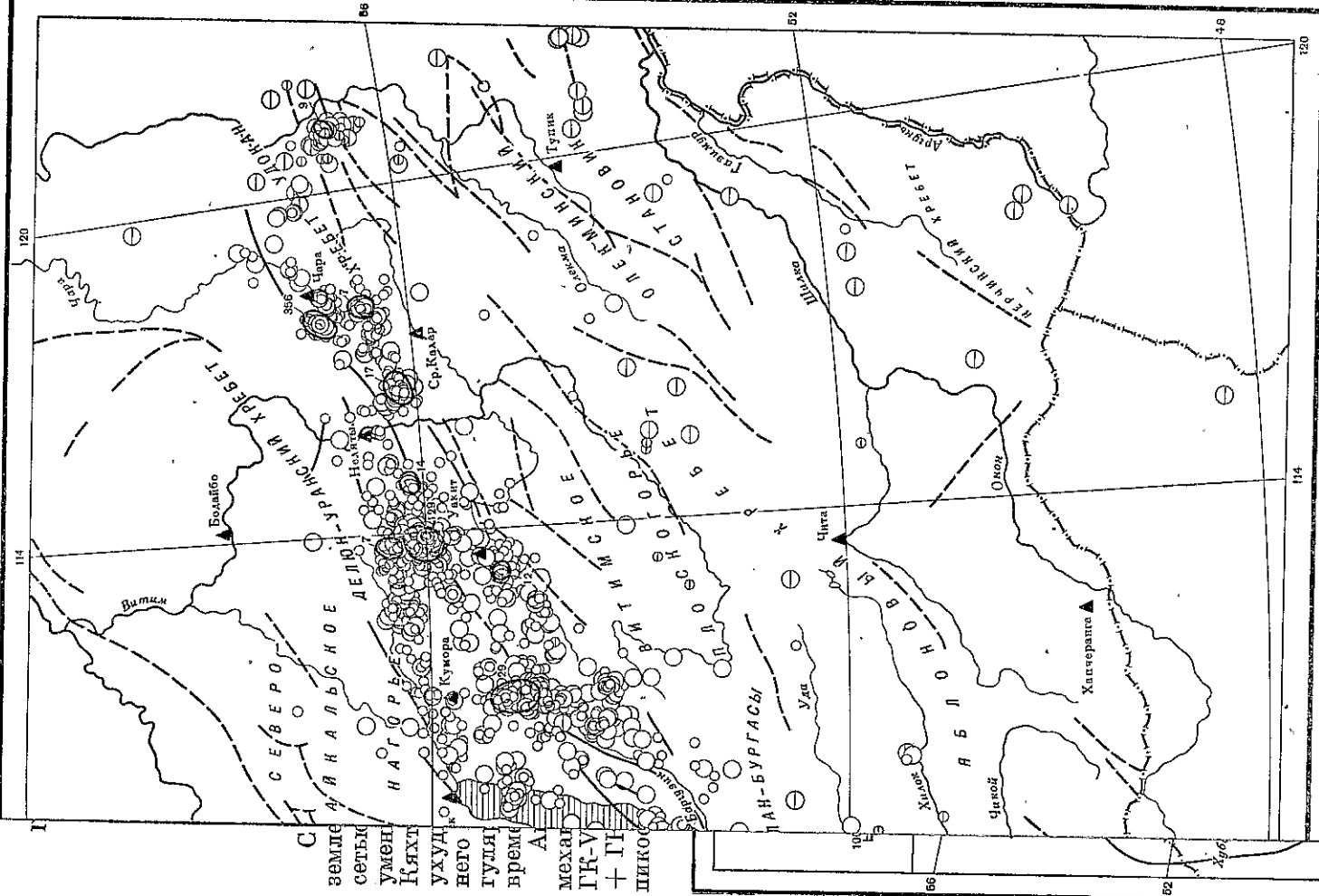


Рис. 1
(составил — ед.)

Таблица 2

Распределение землетрясений Прибайкалья по энергии

№	все зоны	рифт	Число землетрясений		юго-западная часть рифта II
			северо-восточная часть рифта I	юго-западная часть рифта II	
14	2	2	1	1	1
13	3	2	1	1	1
12	3	2	1	1	1
11	24	14	5	9	24
10	73	45	24	55	226
9	231	158	103	226	192
8	828	605	379	46	46
7	1464	1059	867	1	1
6	662	655	609	—	—
5	432	432	431	—	—
4	69	69	69	—	—
Всего	3491	3043	2490	553	—
γ	$-0,51 \pm 0,01$	$-0,54 \pm 0,02$	$-0,62 \pm 0,03$	$-0,46 \pm 0,07$	—

товой зоны — северо-восточной и юго-западной. По наблюдениям за 1970 г., указанное различие оказалось особенно заметным. Вопрос этот, по-видимому, заслуживает специального изучения.

Эпикентровальное поле землетрясений Прибайкалья в 1970 г. (рис. 2 и 3), как и ранее (см. обзоры сейсмичности Прибайкалья за предыдущие годы), в основном тяготело к области рифтовых структур, однако детали конкретного распределения землетрясений по площади и во времени были своеобразны. Характерной для сейсмичности Прибайкалья в 1970 г. была активизация с марта районов Среднего и отчасти Южного Байкала, а также небольшой области в хребте Кодар, где в мае вслед за землетрясением 14-го класса зарегистрировано более тысячи его афтершоков. Далее эти землетрясения будут рассмотрены подробнее.

По-прежнему постоянно активным был район горной перемычки между Верхне-Ангарской и Муйской впадинами. В феврале оживилась сейсмическая деятельность в центральной части Цина-Баунтовской впадины, где ранее (в июле 1968 г.) произошло значительное землетрясение, сопровождавшееся афтершоками, а осенью 1969 г. имел место довольно большой землетрясение. Землетрясения в феврале 1970 г., по-видимому, оправдали продолжение и затухание этого процесса. С апреля до конца 1970 г. активность этого района была малой.

Наиболее значительным явился рой землетрясений 8—9.IX с эпикентром в центральной области 53,35—53,45 с. ш., 108,4—108,3 в. д. между о-вом Ольхон и п-вом Святой Нос. В течение полутора суток здесь зарегистрировано около 70 толчков, в том числе три 11-го класса. Имеются сведения, что один из наиболее сильных толчков (8.IX в 13 ч. 05 м.) опущался в г. Улан-Удэ на расстоянии почти 200 км от эпицентра силой в 2—3 балла, но на п-ове Святой Нос на расстоянии 40 км (метеостанция Нижнее Изголовье) толчки не замечены.

Интересно отметить, что перед роем (в июле — августе 1970 г.) даже в несколько более широкой области (53,4—53,7 с. ш., 107,9—108,7 в. д.) совсем не было зарегистрировано землетрясений. Указанный рой был наименее крупным за последние годы на Среднем Байкале и, по-видимому, приурочен к Ольхонской ветви Обручевского разлома в той ее части, где она расщепляется на два разлома, один из которых проходит мимо северо-западного берега п-ова Святой Нос к устью р. Большой — через Баргузинский залив к юго-восточному склону полуострова. Небольшие рой землетрясений в этой области отмечались в ноябре 1968 г. и январе 1969 г., более крупный рой — несколько юго-западнее, у о-ва Ольхон — в июле 1968 г.

Как и в 1969 г., в течение всего 1970 г. оставался активным (с некоторыми флюктуациями) район верховий р. Баргузин. Довольно активной была также и зона меридиональной части Шурманского-Шутхуайского разлома (на границе между Тувинской АССР и Монгольской Народной Республикой). Вместе с тем в ряде районов активность понизилась. Особенно четко это проявилось в Икатском хребте, где в последние годы на небольшой площади происходило много слабых землетрясений. В 1970 г. в указанном районе отмечено лишь два — три десятка толчков (в 1969 г. их было более 200). При этом, однако, несколько оживились сейсмические процессы в северо-восточной части соседней Баргузинской впадины. Уменьшилось число афтершоков, что вполне естественно, из обlastей двух сильных землетрясений 1967 г. — Моготского на юге, Тас-Юриахского на северо-востоке и, возможно, Муйского землетрясения 1957 г., если только регистрацию здесь толчки можно отнести к афтершокам Муйского землетрясения (табл. 3).

Таблица 3
Афтершоки сильных землетрясений Прибайкалья
(n — число зарегистрированных землетрясений)

Землетрясение	Район	1970 г.		1969 г.	
		n	K _{max}	n	K _{max}
Тас-Юриахское	56,2—56,8 с. ш. 120,5—121,5 в. д.	58	10	85	14
Моготское	47,9—48,8 с. ш. 102,5—103,5 в. д.	100	14	125	14
Муйское	56,0—56,3 с. ш. 116,4—117,0 в. д.	73	9	142	10

Из небольших групп землетрясений в 1970 г. следует указать на рой в июне в районе горного отрога Южно-Муйского хребта, разделяющего Муйскую и Горбылюкскую впадины, а также на немногочисленные землетрясения на Северном Байкале (в районе восточного берега в северной оконечности озера). На рис. 4 представлена диаграмма распределения землетрясений рифтовой зоны ($R \geqslant 9$) во времени в проекции на условную ось рифтовой системы. Методика построения этой диаграммы пояснена в обзорах сейсмичности за предыдущие годы и каких-либо изменений в нее не вносились.

На рис. 5 дана карта сейсмической активности Прибайкалья в 1970 г., построенная методом суммирования с постоянной точностью. Описание байкальской методики расчета приведено в обзоре сейсмичности Прибайкалья за 1969 г. [3]. В расчетах использовались данные о всех землетрясениях начиная с 9-го класса. Угловой коэффициент графика повторяемости — для возможности сопоставления с картами за 1968 и 1969 гг. — принят равным 0,46, хотя по наблюдениям за 1970 г. получено несколько иное его значение ($-0,5$). Карта, рассчитанная при этом значении углового коэффициента, существенно не отличается от приведенной на рис. 5. Число землетрясений на плоскости средней пропорционально активности за 1970 г. аналогична картам за предыдущие годы. Локальные максимумы активности, естественно, отмечаются в районах группировки землетрясений.

Гистограммы распределения землетрясений по глубинам аналогичны, однако, некоторое смещение максимума в сторону больших глубин, но придавать ему существенное значение пока нет оснований.

Ощущимые землетрясения в 1970 г. наиболее сильными в 1970 г. были землетрясения на Среднем

Рис. 5. Карты сейсмической активности за 1970 г.

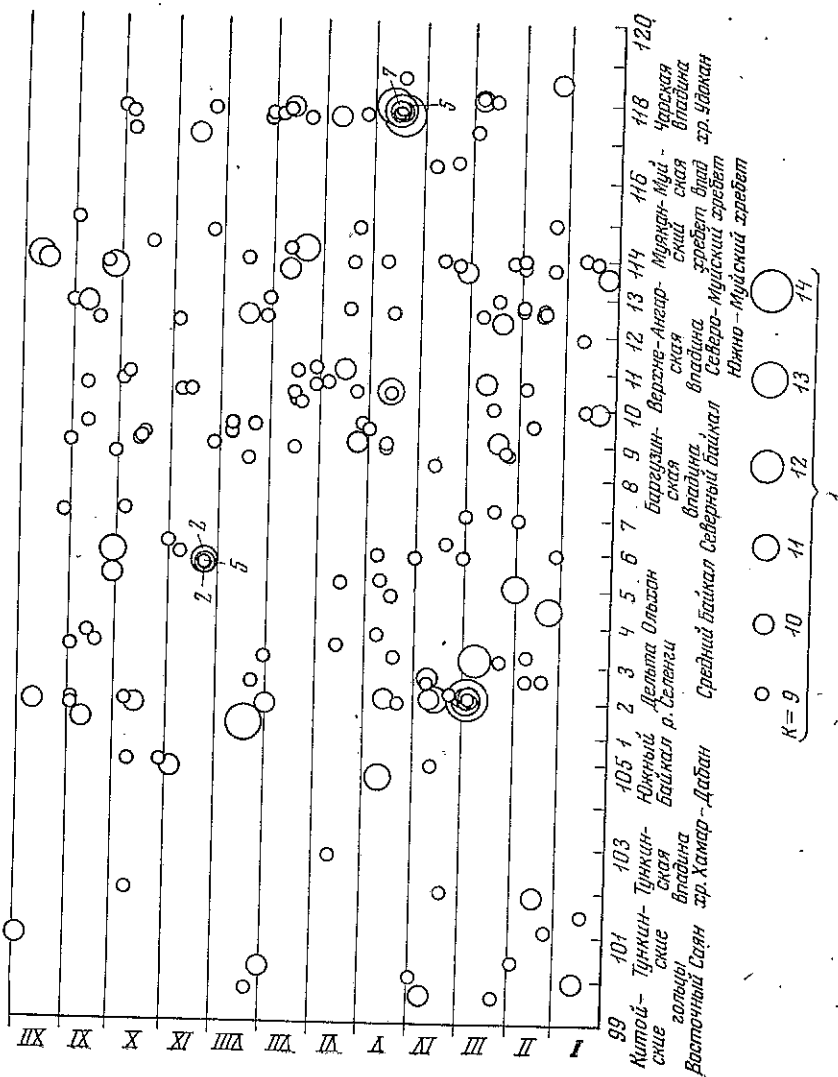
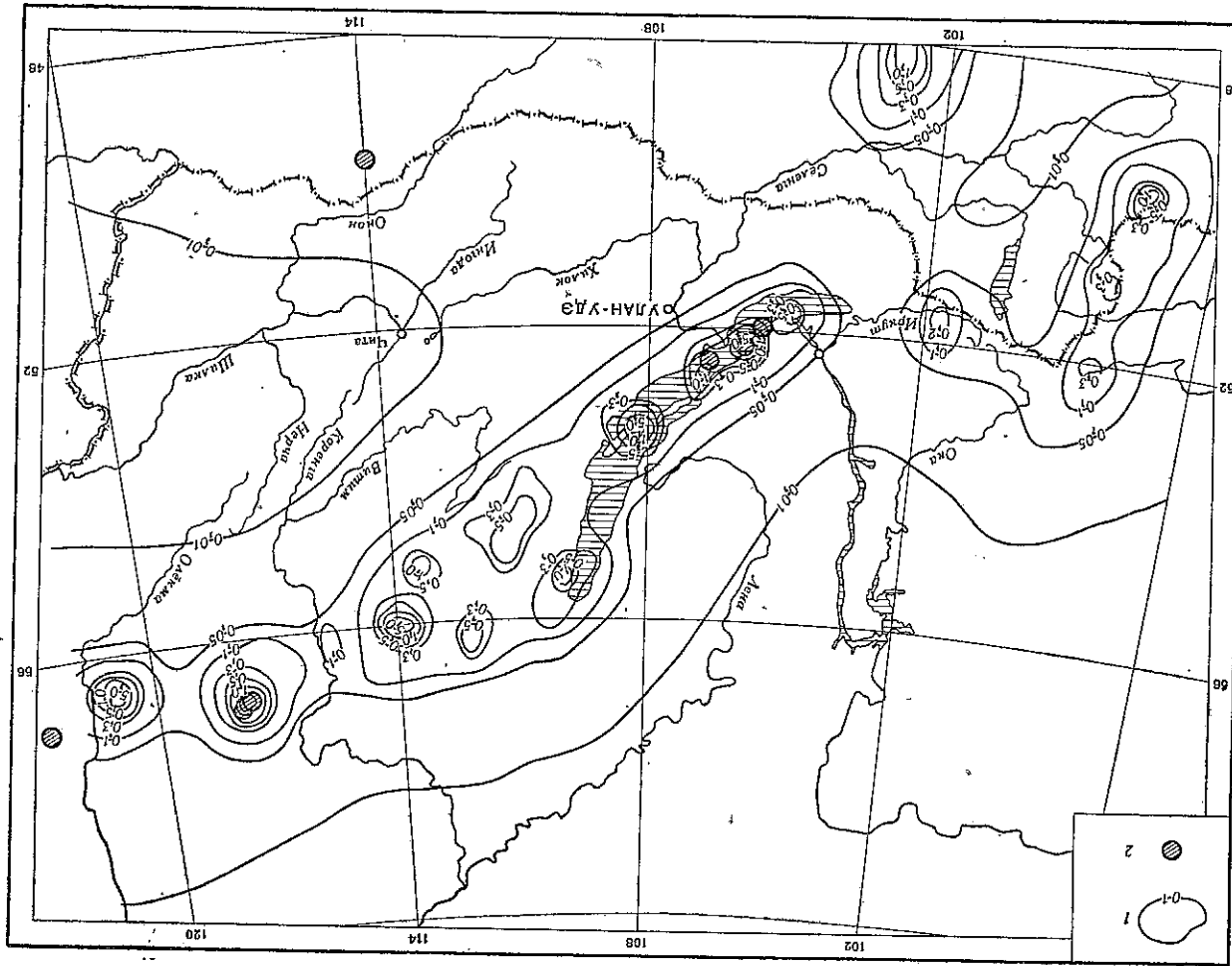


Рис. 4. Распределение землетрясений в Байкальской рифтовой зоне во времени в течение 1970 г.
I — энергия землетрясений. Диаграмма — число землетрясений в данной точке

и Южном Байкале (28.III — 14-го класса, 13.VIII — 13-го класса), в хребте Кодар (15.V — 14-го класса, 18.V — 13-го класса), на юге Читинской области (в пограничном районе с Монгольской Народной Республикой, 3.IX — 13-й класс). Так как по каждому из этих землетрясений собирались макросейсмические сведения, остановимся на них несколько подробнее.

Землетрясения на Байкале. Начало повышенного сейсмической активности на Байкале, по-видимому, положило землетрясение 14-го класса 8.II с эпицентром в районе северо-восточного окончания Приморского хребта. Затем 24.III произошло землетрясение 12-го класса с очагом в районе дельты р. Селенги — залива Провала. Вслед за ним произошло землетрясение 14-го класса под дном Байкала юго-восточнее Харгинто, опущавшееся на значительной территории и сопровождавшееся в марте — апреле несколькими десятками афтершоков до 11-го класса. После некоторого затишья в июне — июле 13.III произошло землетрясение 13-го класса под дном Байкала юго-восточнее южнее мыса Толстой. После этого некоторое время землетрясения 11-го класса на Южном Байкале, Большого Голоустного. В отличие от толтика 28.III оно практически не сопровождалось афтершоками. В сентябре, помимо описанного выше значительного ряда землетрясений между о-вом Ольхон и о-вом Святой Нос, отмечены землетрясение 10-го класса южнее мыса Лиственного и несколько слабых толчков в районе к северо-востоку от него. В оставшуюся

Таблица 4

Результаты определения направлений осей напряжений и положений возможных поверхностей разрывов в очах землетрясений

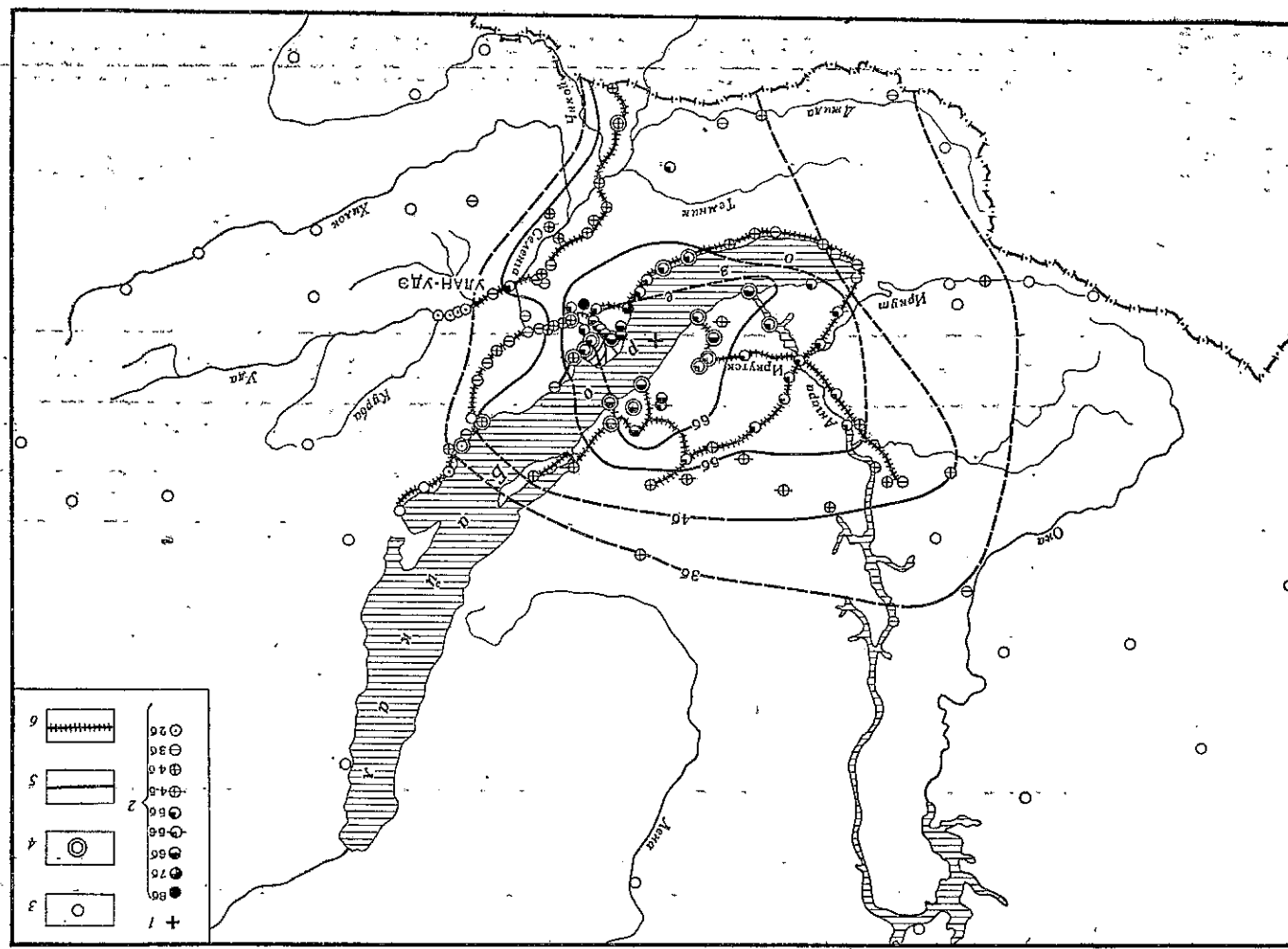
часть года в активизировавшихся районах оз. Байкал продолжалась регистрация толчков, достигавших иногда по интенсивности 10-го класса. В табл. 4 приведены полученные Н. В. Соловенко результаты определения механизма отколов наиболее сильных землетрясений на Байкале.

Землетрясение 28.II. произошло в 9 ч. 44 м. 57 с. Инструментально определенные координаты эпицентра $52^{\circ}20'N$, $105^{\circ}92'E$, магнитуда — 5,5. В 20—30 км от эпицентра на северо-западном берегу оз. Байкал расположаются крупные Приморская и Краснояровская палеосейсмогенные структуры, связанные с протяженным Приморским сбросом, формирующим западину оз. Байкал с северо-запада [4]. Однако рассматриваемое землетрясение приведено, по-видимому, не к этому сбросу, а скорее к разлому, текущему Байкальской антиклинорийной системой.

Землетрясение характеризуется необычным для данного района механизмом очага, поскольку ось сжатия и ось растяжения составляют небольшие углы с горизонтальной плоскостью. Если принять за плоскость равновесия более вероятную плоскость I (см. табл. 4), то подвижка должна представлять собой левосторонний сдвиг. При поперечных горизонтальных растягивающих напряжениях в районе Байкала, сдвиг по раздому, ориентированному под большим углом к осевой линии рифта, по-видимому, вполне

Землетрясение 28.III ощущалось на значительной территории. С целью вычтения его макросейсмических проявлений наряду со сбором корреспондентских сведений было проведено обследование по нескольким достаточно протяженным маршрутам, позволившим в конечном итоге довольно полно оконтурить площадь наибольшего потрясения. Обследование проводилось В. С. Хромовским, Р. А. Гуруленим, М. Г. Демьяновичем, В. Николаевым при участии Г. А. Кильanova, А. В. Наумова и Н. К. Брилака. Полученные результаты представлены на карте изосейст (рис. 6).

Ниже приводятся более подробные сведения о проявлениях землетрясения в некоторых пунктах, где сила его достигала 5 баллов и более. Наиболее сильные сотрясения отмечены в районе дельты р. Селенги. В Поморье на расстоянии около 30 км от эпицентра сила сотрясений составляла 7 баллов. При сейсмическом толчке здесь разваливались поленицы, распрыскивались отдельные печи. Ширина сквозных трещин достигла 0,3 см, длина — 3,5 м. В ряде однозатяжных плавкоблокочных домов (шириной до 0,5 см) наружных и внутренних



四

Таблица 5

Макросейсмические данные о землетрясении 28 III

№	Пункт	Δ, км	Балль-ность	№	Пункт	Δ, км	Балль-ность
1	Посольск	30	7	54	Ороте	110	4
2	Истокино	30	6	55	Хогот	110	4
3	Стенной Дворец	30	6	56	Еловка	110	3
4	Птичево	35	6	57	Гусиновзерск	110	4
5	Бутылек	35	6	58	Иркутск	115	5
6	Булунук	40	5—6	59	Река Выдрино	115	4
7	Творогово	40	6	60	Муромцевка	115	4—5
8	Большое Голуустное	40	5	61	Гахан	115	4
9	Бодрек	40	5	62	Сарма	115	4
10	Юлесово	40	6	63	Улан-Удэ	120	5
11	Малое Голуустное	45	5	64	Тарбагатай	120	4
12	Кургун	45	6	65	Заринск	120	4
13	Каргино	45	6	66	Будрино	125	3
14	Нижний Качергат	45	6	67	Шелехов	130	5—6
15	Зазерный	50	5—6	68	В. Жирим	130	4
16	Макнуриха	50	5	69	Маритуй	130	5
17	Кудара	50	5	70	Несторово	130	3
18	Кабанск	50	6	71	Ново-Селенгинск	150	4
19	Каленск	50	5	72	Эрхирлик	130	3
20	Доброболг	55	4—5	73	Ташир	135	5
21	Птерчино	55	5	74	Глика	140	3
22	Корсаково	55	5—6	75	Хужир	140	4
23	Тарган	55	6	76	Грамотуха	145	5—6
24	Бебушкин	60	5	77	Ангарск	145	5
25	Крестовский	60	6	78	Гремичинск	150	4
26	Омур	65	4—5	79	Байкальск	150	4
27	Тресково	65	4—5	80	Алагат	155	2
28	Седендинск	70	5	81	Мантуяй	155	3
29	Мишкиха	70	5	82	Добо-Енхор	155	2
30	Горячий Ключ	70	5	83	Вершина	155	2—5
31	Косая степь	70	6	84	Маевка	160	2
32	Мостовка	75	4	85	Оз. Котокель	160	3
33	Еланчик	75	5	86	Култук	165	3
34	Ютово	80	4	87	Хардатово	165	4
35	Тромпикое	80	4	88	Слюдянка	165	3
36	Листянка	85	6	89	Новая Курба	165	3
37	Сухая	85	3	90	Усть-Сибирское	170	5—4
38	Ильинка	90	3—4	91	Турка	170	2
39	Бурдаковка	90	5—6	92	Каданишина	170	4
40	Ользона	95	4—5	93	Петропавловка	175	3
41	Баянтай	95	5	94	Горячих	180	4
42	Тахой	95	4	95	Тулун	180	3
43	Татаурово	95	3	96	Галково	185	2
44	Ср. Убукун	100	4	97	Оса	190	4
45	Кюони	100	3	98	Н. Торей	195	4
46	Усть-Орда	100	3	99	Смырек	195	4
47	Красноярово	105	5	100	Кекра	200	4
48	Иволгинск	105	3	101	Черемхово	215	4—3
49	Тохой	105	4	102	Голуметь	250	4
50	Хонутово	110	5	103	Бирен	260	4
51	Гурульба	110	3	104	Закаменск	265	3
52	Оек	110	5	105	Усть-Уда	285	3
53	Турунгаево	110	3	106	Зима	310	3

Землетрясение не опущалось в пунктах 107—135.

В с. Кабанске, в здании райкома КПСС, вскрылись старые трещины, возникшие при прошлых землетрясениях. Из трещин сыпалась известка. В стенах отдельных плакоблочных домов возникли свежие трещины шириной 0,3 см. В с. Колесово, Каргино, Степной Дворец во многих домах с потолков сыпалась земля и известка. В с. Истомино опустился очень сильный удар. По рассказам жителей, кисе гремело. Дома тряслись и тр-

щали. Из расщелившихся стен и потолков сыпалась известка и выпадала промазка. Люди в испуге выбегали из домов. В пос. Кудара и Красаково в шлакоблочных одноэтажных домах кое-где опыпалась побелка и образовались волосистые трещины по стыку потолков и широтно ориентированных стен. Растрескалось основание железной дымовой трубы котельной в районной больнице.

На оз. Байкал в 6—7 км западнее мыса Среднего сильно трескался и колебался лед. Из трещин выплыла вода. В 1,5 км от берега против пункта Загда уровень воды в лунке глубиной около 1 м изменился на 30—40 см.

В пос. Нижний Качергат, Заозерный, Бугульдейка, Малый Крестовский, Косая степь (западное Прибайкалье, западный берег Байкала) во время толчков в некоторых печах вываливались кирпичи, в результате чего дымоходы были засорены и печи задымили. Во многих домах появилась небольшая трещина в плинкатурке печей, а изредка и сген. Отмечены сдвиги и падения тяжелых предметов. В пос. Нижний Качергат в двухквартирном типовом деревянном доме разрупена верхняя часть дымохода. Падение кирпичей было направлено к юго-востоку. В пос. Заозерный в деревянном бараке лопнуло несколько оконных стекол. Вблизи пос. Бугульдейка, Малый Крестовский из лупок, продобленных для подводного лова, на поверхность выплыкалась вода, что может служить некоторым доказательством возникновения сейсм. В районе пос. Бугульдейка отмечено падение отъемных камней с юго-западных склонов долины р. Бугульдейка.

Судя по большому количеству видимых повреждений в сооружениях, в пунктах Нижний Качергат, Заозерный, Косая Степь землетрясение ощущалось сильнее, чем в прибрежных поселках. Это, возможно, связано с тем, что названные пункты расположены в зоне разлома, параллельного Приморскому.

В г. Шелехов на территории алюминиевого завода в двухэтажном кирпичном здании электроподстанции вскрылись температурные трещины. Зияние образовавшихся трещин в верхней части достигает 3—4 см. Из них вываливались куски бетонной заделки размером до нескольких сантиметров в диаметре. В одном случае на стыке развались несущие балки. В г. Каменск при общем 5-балльном погрисении в одной из внутренних стен четырехэтажной средней школы возникли мелкие трещины. Здание школы сильно пострадало при землетрясении 11.II.1967 г. и затем было реставрировано.

В пос. Селенгинск особый интерес представляет изучение эффекта землетрясения на строительных площадках Селенгинского целлюлозно-картонного комбината. При землетрясении в трехэтажных жилых домах 4-го квартала распались старые трещины. В 28-м квартале в сочленении стен и потолков кирпичных трехэтажных зданий возникли волосистые трещины. Интенсивность сопряжения в целом здесь не превышала 5 баллов. Однако на отдельных участках она составила, не менее 7—8 баллов. Так, в кирпичных стенах и фундаментах двух пересыпных будок комбината возникли сквозные трещины длиной до 2,5—3 м и шириной от нескольких миллиметров до 3 см. Фундаменты этих зданий — ленточные, железобетонные ростверки толщиной до 400 мм, покоящиеся на сваях. Свай наторгованы на 6 м в гравийно-галечниковый грунт. Фундаментом одной из будок частично служит сплошная железобетонная плита древесно-подготовительного цеха, также возведенная на сваях. На плите возведена жалезобетонная стена (ростверк) высотой 2,1 м, являющаяся непосредственным основанием для кирпичной кладки стен пересыпной будки. Трещины, возникшие при землетрясении, разорвали кирпичи и липиль в нижней части приручены к их стыкам, затем они прослеживаются и в желобогонном ростверке.

Следует отметить, что для строительства главного корпуса комбината в расположенных рядом с ним сооружениях были выбраны участки относительно стабильные. По рассказам жителей, кисе гремело. Дома тряслись и тр-

щали. На оз. Байкал в 6—7 км западнее мыса Среднего сильно трескался и колебался лед. Из трещин выплыла вода. В 1,5 км от берега против пункта Загда уровень воды в лунке глубиной около 1 м изменился на 30—40 см.

В пос. Нижний Качергат, Заозерный, Бугульдейка, Малый Крестовский, Косая степь (западное Прибайкалье, западный берег Байкала) во время толчков в некоторых печах вываливались кирпичи, в результате чего дымоходы были засорены и печи задымили. Во многих домах появилась небольшая трещина в плинкатурке печей, а изредка и сген. Отмечены сдвиги и падения тяжелых предметов. В пос. Бугульдейка, Малый Крестовский из лупок, продобленных для подводного лова, на поверхность выплыкалась вода, что может служить некоторым доказательством возникновения сейсм. В районе пос. Бугульдейка отмечено падение отъемных камней с юго-западных склонов долины р. Бугульдейка.

Судя по большому количеству видимых повреждений в сооружениях, в пунктах Нижний Качергат, Заозерный, Косая Степь землетрясение ощущалось сильнее, чем в прибрежных поселках. Это, возможно, связано с тем, что названные пункты расположены в зоне разлома, параллельного Приморскому.

В г. Шелехов на территории алюминиевого завода в двухэтажном кирпичном здании электроподстанции вскрылись температурные трещины. Зияние образовавшихся трещин в верхней части достигает 3—4 см. Из них вываливались куски бетонной заделки размером до нескольких сантиметров в диаметре. В одном случае на стыке развались несущие балки. В г. Каменск при общем 5-балльном погрисении в одной из внутренних стен четырехэтажной средней школы возникли мелкие трещины. Здание школы сильно пострадало при землетрясении 11.II.1967 г. и затем было реставрировано.

В пос. Селенгинск особый интерес представляет изучение эффекта землетрясения на строительных площадках Селенгинского целлюлозно-картонного комбината. При землетрясении в трехэтажных жилых домах 4-го квартала распались старые трещины. В 28-м квартале в сочленении стен и потолков кирпичных трехэтажных зданий возникли волосистые трещины. Интенсивность сопряжения в целом здесь не превышала 5 баллов. Однако на отдельных участках она составила, не менее 7—8 баллов. Так, в кирпичных стенах и фундаментах двух пересыпных будок комбината возникли сквозные трещины длиной до 2,5—3 м и шириной от нескольких миллиметров до 3 см. Фундаменты этих зданий — ленточные, железобетонные ростверки толщиной до 400 мм, покоящиеся на сваях. Свай наторгованы на 6 м в гравийно-галечниковый грунт. Фундаментом одной из будок частично служит сплошная железобетонная плита древесно-подготовительного цеха, также возведенная на сваях. На плите возведена жалезобетонная стена (ростверк) высотой 2,1 м, являющаяся непосредственным основанием для кирпичной кладки стен пересыпной будки. Трещины, возникшие при землетрясении, разорвали кирпичи и липиль в нижней части приручены к их стыкам, затем они прослеживаются и в желобогонном ростверке.

Следует отметить, что для строительства главного корпуса комбината в расположенных рядом с ним сооружениях были выбраны участки относительно стабильные. По рассказам жителей, кисе гремело. Дома трясились и тр-

щали. На оз. Байкал в 6—7 км западнее мыса Среднего сильно трескался и колебался лед. Из трещин выплыла вода. В 1,5 км от берега против пункта Загда уровень воды в лунке глубиной около 1 м изменился на 30—40 см.

В пос. Нижний Качергат, Заозерный, Бугульдейка, Малый Крестовский, Косая степь (западное Прибайкалье, западный берег Байкала) во время толчков в некоторых печах вываливались кирпичи, в результате чего дымоходы были засорены и печи задымили. Во многих домах появилась небольшая трещина в плинкатурке печей, а изредка и сген. Отмечены сдвиги и падения тяжелых предметов. В пос. Бугульдейка, Малый Крестовский из лупок, продобленных для подводного лова, на поверхность выплыкалась вода, что может служить некоторым доказательством возникновения сейсм. В районе пос. Бугульдейка отмечено падение отъемных камней с юго-западных склонов долины р. Бугульдейка.

Судя по большому количеству видимых повреждений в сооружениях, в пунктах Нижний Качергат, Заозерный, Косая Степь землетрясение ощущалось сильнее, чем в прибрежных поселках. Это, возможно, связано с тем, что названные пункты расположены в зоне разлома, параллельного Приморскому.

В г. Шелехов на территории алюминиевого завода в двухэтажном кирпичном здании электроподстанции вскрылись температурные трещины. Зияние образовавшихся трещин в верхней части

тельно благоприятные или минимально неблагоприятные по инженерно-геологическим условиям. Во всяком случае на указанных участках исключались наличие пыльников и псевдопыльников. Они отсутствуют и в основных свайных фундаментах, деформированных при землетрясении перед этим признаку можно считать, что они погружены в плотный гравийно-галечниковый грунт. Тем не менее именно здесь отмечается 8-балльные аффекты при общем 5-балльном сопряжении на строительных площадках комбината. Расчетная сейсмичность строительных площадок изменяется от IX до X баллов [5].

В г. Ангарск впервые в Восточной Сибири построены девятиэтажные дома. Проявление землетрясений в них отличается от макроэффектов в других зданиях. Поэтому результаты обследования девятиэтажного дома № 101 в квартале 94 приводятся наиболее подробно.

7 этаж. Над дверными проемами многих квартир появились небольшие горизонтальные трещины длиной до 1 м и вертикальные — длиной до 30—40 см с зазором 3 мм. Очень много мелких трещин в штукатурке стен и потолков отмечено в квартирах и коридорах 6 и 5 этажей.

6 этаж. В квартире № 1 с левой стороны капитального бельевого шкафа в стенае образовалась горизонтальная трещина. Она рассекла штукатурку от дверного проема до угла комнаты на высоте 1,2 м от пола. Несколько трещин. В квартире № 33 с левой стороны дверного проема возникли мелкие волосные рваные вертикальные трещины через всю стену. Зияние трещин до 3 мм. С внутренней стороны стены на той же высоте возникли тонкие трещинки. В квартире № 33 с левой стороны дверного проема возникли тонкие шириной до 7 см от стыка стены и потолка образовалась горизонтальная трещина шириной до 7 см. По трещине отвалилась штукатурка. Все люди, находившиеся на 6 этаже, ощущали землетрясение. Качались шкафы и другие железные предметы, в соусниках колебалась вода.

5 этаж. В большой комнате квартиры № 25 над окном образовалась трещина (шириной до 5—10 см) вдоль всего окна. По трещине отваливалась штукатурка. Тонкая волосная трещина по всему потолку проходит в 5—7 см от места сочленения стены и потолка. Над дверным проемом — тонкие трещинки.

4—3 этажи. Микротрещинны в различных направлениях около дверных проемов. Толчки ощущались всеми жителями этажей. Открывались и закрывались слабо подогнанные двери, требовались скрежет окон, шелест листьев комнатных растений.

На 2 и 1 этажах каких-либо повреждений не возникло. Колебания ощущались всеми людьми, некоторые из них выбегали из помещений. В 23 квартиле в двухэтажном плакоблокном доме отмечено расширение трещин и обрушение штукатурки по старым трещинам. На некоторых электритеческих подстанциях сработала противожарная защита.

Изосейсты, построенные по описанной наблюдением (см. рис. 6), имеют неправильную форму. При сопоставлении их с теоретическими изосейстами, рассчитанными по методике О. В. Соболево [6] для двух возможных плоскостей разрыва (см. табл. 4), ни в одном случае не обнаруживается детального сходства, однако для плоскости почти меридионального пространствия следовало бы ожидать большой расщепленности изосейст в широтном направлении, чего в действительности определенно не наблюдается. Таким образом, макросейсмические изосейсты совпадают со средним, найденным ранее для Прибайкалья.

Рис. 7 характеризует закономерность спадания балльности с увеличением логарифма расстояния для землетрясения 28.III. 1970 г. Рассчитанный способом наименьших квадратов коэффициент затухания балльности $-3,2 \pm 0,3$ практически совпадает со средним, найденным для Прибайкалья.

Результаты оценки глубины очага по макросейсмическим данным приводятся в табл. 6. Вычисления проводились в двух вариантах — при использовании коэффициентов в макросейсмических формулах, полученных ранее для Прибайкалья, и для значений этих коэффициентов, средних по ряду сейсмоактивных районов [7]. Результаты удалось провести только с использованием балльности в эпицентре I_0 . Глубину очага по разностям балльности на изосейстах определить на удалось.

Если для определения балльности в эпицентре вносить поправки по спо-

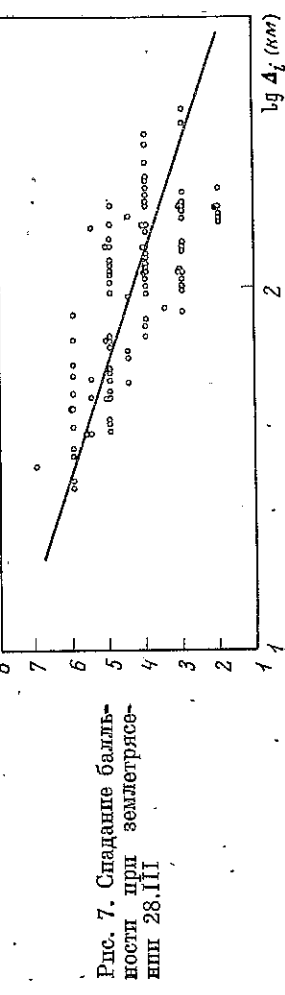


Рис. 7. Спадание балльности при землетрясении 28.III. 1970 г.

собу Шебалина [8], то значения глубины очага оказываются существенно более низкими. Для сравнения в табл. 6 приведены результаты, полученные для случая, когда балльность в эпицентре принимается на единицу более высокой, чем на ближайшей к нему изосейсте. В целом, судя по данным табл. 6, глубину очага землетрясения 28. III по макросейсмическим наблюдениям следует, по-видимому, считать довольно близкой к 10—15 км.

Относительно техники расчетов необходимо отметить: 1) наличие во второй формуле табл. 6 коэффициента $\sqrt{2}$, учитываемого, что изосейсты фактически являются огибающей площади с данной балльностью.

Часто этот коэффициент при расчетах глубины очага по средним радиусам изосейст опускают, а при использовании площадей, ограниченных изо-

Таблица 6

Глубина очагов по макросейсмическим наблюдениям:

Формула для расчета глубины очага	Землетрясение 28.III						Землетрясение 15.V					
	$I_{\max} = 6$	$I_{\max} + \delta I = 7$	$I_{\max} = 6$	$I_{\max} = 6$	$I_{\max} = 6$	$I_{\max} = 6$	$I_{\max} + \delta I = 7$					
$10^{\frac{1}{s}(bM+c-I_0)}$	32	32	10	12	15	16	34	35	14	22	16	48
$\frac{1}{2} \Delta_i [10^{s(I_0-I_i)} - 1]$	34	40	10	13	14	18	31	36	12	20	13	46
То же, $i=4$	22	28	7	10	10	14	24	30	10	19	11	46
$\frac{1}{2} S_i [10^{\frac{1}{s}(I_0-I_i)} - 1]^{\frac{1}{2}}$	38	45	11	14	16	20	30	36	12	20	13	46
$i=5$	25	32	8	11	11	16	23	30	11	18	11	45
То же, $i=4$												

Причение. В варианте I расчете получено при значениях коэффициентов $b=1$, $c=5$, $s=2$ — средних для Прибайкалья, в варианте II — при значениях $b=1$, $c=3$, $s=3$, 5 — средних по ряду сейсмоактивных районов. Обозначения: Δ_i — средний радиус изосейст; I_i — изосейста максимальной балльности на карте; δI — поправка для определения балльности в эпицентре, установленная по таблице Н. В. Шебалина, I'_0 — условная глубина (прогнозально выбранная) в эпицентре.

системами, сохраняют, что ведет к расхождению этих оценок; 2) номограмма Н. В. Шебалина для определения глубины очага во второй формуле, если даже учесть этот коэффициент, не дает достаточного согласия со значением глубины очага, вычисленным по формуле.

Землетрясение 13.VIII в 19 ч. 26 м. 53 с., возможно, приурочено к зоне Приморского разлома. Механизм очага вполне типичен для землетрясений Байкала. Субгоризонтальные растягивающие напряжения сжатия составляют большой угол с горизонтальной плоскостью.

Таблица 7

Макросейсмические сведения о землетрясении 13.VIII

Пункт	Расстояние от эпицентра, км	Баинность	Пункт	Расстояние от эпицентра, км	Баинность
Большое Голоустное	40	4—5	Селенгинск	85	3
Доброволец	30	5	Иркутск	95	4
Бабушкин	40	4	Маритуй	95	4
Посольск	45	3	Тырган	105	4
Листянка	50	4—5	Мангутай	120	4
В. Речка	50	4	Слюдянка	135	4
Истомино	55	3	Юго-запад. о. Ольхон	150	4
Патроны	70	4	Закаменск	235	2—3
Байкал—Кудара	80	3			

Макросейсмические проявления землетрясения 13.VIII изучались по корреспондентским сведениям (табл. 7). Центральных изосейст при этом интенсивности сопряжений в районе дельты р. Селенги.

Землетрясение 28.III и 13.VIII на Байкале, так же как и описываемые ниже толчки 15.V в хребте Кодар и 3.IX в северо-восточной Монголии, относятся к числу наиболее сильных из известных в дальней локальных эпицентрических областях. В пунктах Каменск, Куртун, Кабанск, Оймур, Мурдано, Еланцы, Сухая, Харанцы, Санага землетрясение не опущалось. Землетрясение 15.V 1970 г. в хребте Кодар в 20 ч. 50 м. 12 с. [9]. Эпидицентры основного толчка (магнитуда 5,6) и афтершоков располагались к главному Кодарскому разрыву с оперяющими его мезокайнозойскими разломами [10].

Главному толчку Кодарского землетрясения за 12 мин. предшествовал единственный фокус 8-го энергетического класса. На фоне последующего убывания высвобождающейся энергии через трое суток после главного толчка произошел значительный афтершок, сопровождавшийся съемками афтершоками. Магнитуда этого толчка $4\frac{3}{4}$. Он опущался слабее основного толчка в Чаре, на метеостанции Б. Леприндо, в Среднем Каларе, возможно на Средней Олекме. Всего за месяц в данном районе было зарегистрировано 1161 землетрясение. Всего за месяц в данном районе (около 200 км²), размеры которых сопоставимы с величиной возможной погрешности установления эпицентров.

Ввиду значительности числа зарегистрированных афтершоков существенный интерес представляет установление углового коэффициента графика их повторяемости. Такой расчет был проведен по данным расположения кодарских землетрясений по энергии с 15.V до конца 1970 г. Единичные толчки высших классов в расчетах не использовались.

К	14	13	12	11	10	9	8	7	6	5	4
Число землетрясений	1	1	1	1	8	24	94	284	394	410	66

136

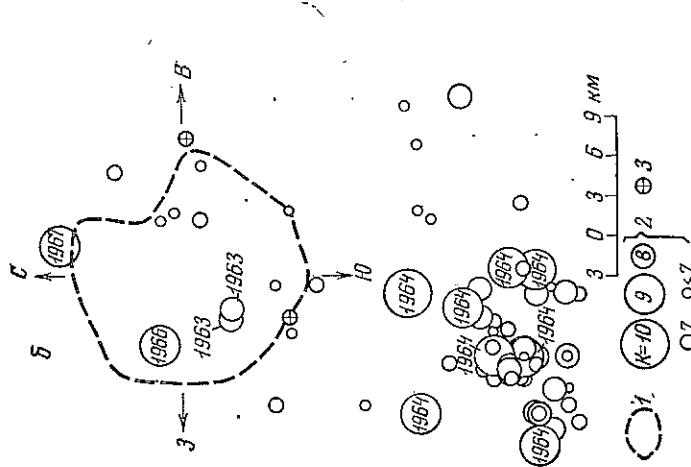
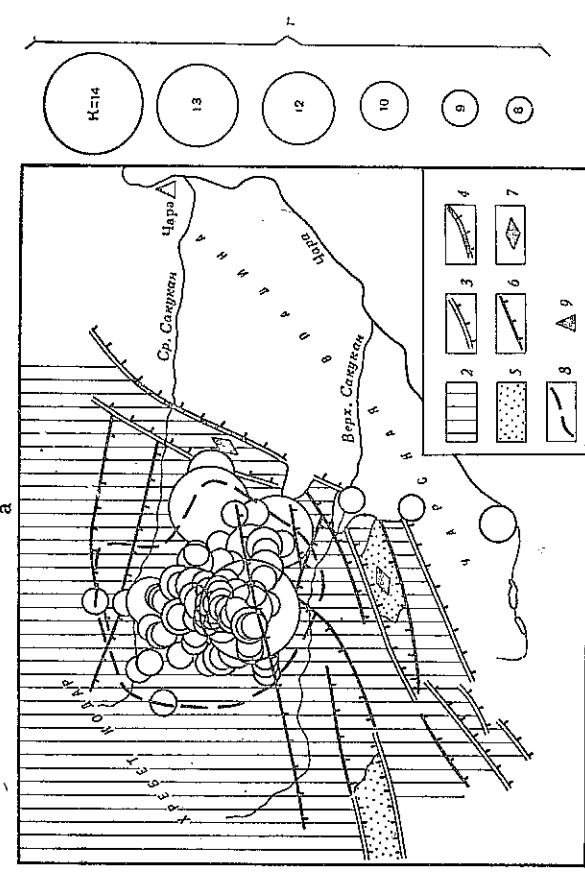


Рис. 8. Карта эпицентров кодарских землетрясений по 15.VI с. $K \geq 8$ (геологическая система состоящена С. Д. Жилько). 1 — энергия землетрясений; 2 — гипиболе подножие хребта Конар; 3 — кайнозойские разломы; 4 — амброниальные впадины; 5 — мезокайнозойские разломы; 6 — палеосейсмостоличинки; 7 — граница области афтершоков; 9 — сейсмическая станция. б — с 1961 по 1969 г. 1 — граница области афтершоков землетрясения 15.V; 2 — энергия землетрясений; 3 — К не известно

Полученное значение глубины очагов афтершоков Кодарского землетрясения $0,53 \pm 0,03$ вполне согласуется с угловыми коэффициентами графиков для Кодаро-Удоканского района за отдельные годы и в целом для Прибайкалья.

Для определения глубины очагов афтершоков Кодарского землетрясения были использованы наблюдения близайшей к эпицентру станции Чара (эпицентрические расстояния ~ 30 км). Построение графика распределения значений глубин очагов, найденных из треугольников очаг — эпицентгр — станции при скоростях прямых попеченных и продольных волн 3,51

и $6,4 \text{ км/сек}$, свидетельствует о том, что наибольшее число случаев приходится на интервал глубин $14-22 \text{ км}$.

Наблюдения над афтершоками Кодарского землетрясения позволили рассчитать годографы основных сейсмических волн и оценить уклонение от среднего значения энергетических классов по наблюдениям отдельных сейсмических станций.

Скорость распространения P -волн по сводному годографу для восьми землетрясений на расстояниях до 600 км оказалась равной $7,96 \pm 0,06 \text{ км/сек}$, начальная ордината годографа $6,0 \pm 0,4$ сек. Результаты расчета линейных годографов «прямых» продольных P и поперечных S -волн по наблюдениям над 28 случайно выбранными землетрясениями приведены в табл. 8.

Таблица 8

Сводные годографы прямых продольных P и поперечных S -волн по наблюдениям над 28 афтершоками Кодарского землетрясения

Показатели	С использованием наблюдений в Чарае	Число наблюдений в Чарае	Число наблюдений
$v_p, \text{ км/сек}$	$6,47 \pm 0,02$	179	$6,45 \pm 0,02$
$a_p, \text{ сек}$	$0,5 \pm 0,2$		$0,5 \pm 0,2$
$v_S, \text{ км/сек}$	$3,56 \pm 0,01$	206	$3,55 \pm 0,01$
$a_S, \text{ сек}$	$0,8 \pm 0,2$		$0,4 \pm 0,2$

Рассмотрение отклонений от средних значений R афтершоков по наблюдениям отдельных станций показывает (рис. 9), что в большинстве случаев эти величины не превышают $0,5 R$. Ошибка среднего арифметического при этом оценивается величиной до $\pm 0,04$ при числе определений от 70 до 250. Среднее уклонение отдельного значения составляет $0,3-0,6$. Определенный зависимостью величины и знака отклонений от эпицентрального расстояния или азимута не выявляется.

Макросейсмические данные для Кодарского землетрясения 15.V.

Землетрясение не опущалось в пунктах: Перевоз, Воронцовка, Мама,

Горно-Чуйский, Шарпинский Иркутской областей, Муйя, Баутыт, Бодгарин, Бурятской АССР, Калакан, Усть-Каренга, Моклакан, Гуля, Хулуги Читинской области.

Таблица 9

Макросейсмические данные о землетрясении 15. V

Пункт	Эпипцентральное расстояние, км	Баунтность	Примечания
Чара	30	6	Шум, как от большого шторма
Большое Лештичдо	30	5	Раскатистый гул, особенно в Кодарском хребте
Средний Калар	105	4-5	
Водийбо	235	4	
Средняя Олекма	240	4	

458

Для Кодарского землетрясения, как и для некоторых других, в частности для Усть-Муйского землетрясения 1968 г. [11], по-видимому, характерно, преимущественное распространение сопрясений вкrest основным геологическим структурам района.

Таблица 10

Макросейсмические данные о землетрясении 3. IX

Пункт	Расстояние от эпицентра, км	Баунтность	Примечания
Усть-Ила	70	4	Сдавливающий, как от автомашин
Акина	75	4	То же
Хантегранга	105	4	
Н. Пасучай	145	4	
Дарасун	150	4	
Агинское	150	4	
Оловянная	170	4	
Ага	175	4	
Чита	260	2-3	

Результаты оценки глубины очага по макросейсмическим сведениям отражены в приведенной выше табл. 6. Получаемые значения глубины попадают в интервал $10-20 \text{ км}$. Отметим, что согласно определениям, проведенным в Институте физики Земли по данным сетя отечественных зарубежных сейсмических станций, глубина очага основного толчика Кодарского землетрясения — 15 км , наиболее сильного афтершока $18, V$ 1970 г. — 10 км . Расчет гипоцентра землетрясений на ЭВМ в Институте земной коры СО АН СССР по наблюдениям над P -волнами на основе минимизации суммы квадратов невязок дал при значении скорости $6,4 \pm 0,4 \text{ км/сек}$ для глубины очага основного толчка и наибольшего афтершока соответственно 12 и 18 км .

Землетрясение 3.IX в южном Забайкалье. Эпицентр расположен в северо-восточной Монголии близ границы с Советским Союзом, в районе среднего течения р. Улда, и, по-видимому, тяготеет к зоне крупного разлома северо-восточного простирания [12, 13].

Таблица 9

Макросейсмические данные о землетрясении 15. V

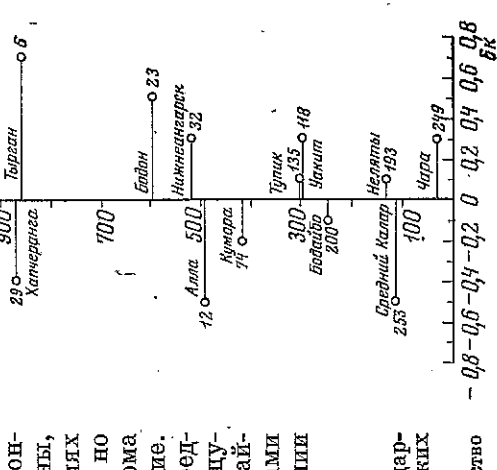


Рис. 9. Средние значения отклонений δK коларских землетрясений для отдельных сейсмических станций
A — эпипцентральное расстояние. 6, 23 . . . — количество определений, используемых при усреднении

Помимо авторов статьи, в получении фактических данных участков
вали Н. И. Перевалова и Л. П. Виноградова.
Макросейсмические сведения по г. Улан-Удэ даны Г. А. Кибановым,
А. В. Наумовым и Н. К. Брисюком, а корреспондентские сообщения
собраны и обработаны в лаборатории региональной сейсмичности. Руково-
дство работой осуществлялось С. И. Голенецким.

ЛИТЕРАТУРА

1. С. И. Голенецкий, Л. А. Миширина и др. Обзор общей сейсмичности Прибайкалья в 1967 г. — В сб. «Землетрясения в СССР в 1967 году». М., «Наука», 1970.
2. С. И. Голенецкий, Ф. В. Новомежкая, Ф. В. Б. Новомежкая и др. Обзор сейсмичности Прибайкалья в 1968 г. — В сб. «Землетрясения в СССР в 1968 году». М., «Наука», 1972.
3. С. И. Голенецкий, К. И. Букина и др. Обзор сейсмичности Прибайкалья в 1969 г. — В сб. «Землетрясения в СССР в 1969 году». М., «Наука», 1973.
4. Сейсмокотоника и сейсмичность рифтовой системы Прибайкалья. Под ред. В. П. Сопоненко, М., «Наука», 1968.
5. В. С. Хромовский. Сейсмогеология Южного Прибайкалья. М., «Наука», 1965.
6. О. В. Соболева. Влияние астиметрии излучения из очага на распределение смещений вокруг эпицентра глубокого землетрясения. — Изв. АН СССР, серия физика Земли, 1968, № 10.
7. Н. В. Шебалин. Методы использования инженерно-сейсмологических данных при сейсматическом районировании. — В кн. «Сейсмическое районирование». М., «Наука», 1968.
8. Р. Н. Морозов, Н. В. Шебалин. О землетрясениях Крыма 1800—1967 гг. — Геодиз. сборник, вып. 26. Киев, Изд-во АН Укр. ССР, 1968.
9. С. И. Голенецкий, Ф. В. Новомежкая, К. И. Букина. Кодарское землетрясение: 1970 г. и мощность земной коры с северо-восточной части Байкальского района. — Вопр. сейсмичности Сибири. Новосибирск, 1972.
10. Живая тектоника, вулканы и сейсмичность Станового нагорья. Под ред. В. П. Сопоненко, М., «Наука», 1966.
11. С. И. Голенецкий, А. П. Шломотов. Усть-Муйское землетрясение 31 августа 1968 г. — Изв. АН СССР, серия физики Земли, 1970, № 11.
12. Н. Нарказ-Юз. Рельеф Монгольской Народной Республики в связи с тектоникой и сейсмичностью. — Бюлл. Совета по сейсмологии, № 10. Вопр. сейсмоктектоники Прибайкалья и смежных территорий. М., Изд-во АН СССР, 1960.
13. Б. Н. Ерофеев, Н. А. Маринов. Геологические исследования Монгольской Народной Республики. М., 1969.

Каталог землетрясений Прибайкалья с $K \geq 9$ за 1970 г.

№	Дата	Момент издательства	Координаты		Глубина на очага, км	Класс точно- сти	М	K*	№ регистра	Макросейсмические данные
			φ° N	λ° E						
Январь										
3	19 23 44	48,4	102,9			A			9	8
5	14 31 48	56,6	120,9			A			9	22
7	00 31 54	47,9	102,7			A			10	8
9	03 42 16	55,94	113,55			a			10	8
12	18 26 08	48,4	103,2			A			11	8
13	04 32 26	56,00	143,91			A			9	16
15	22 01 19	54,45	111,31			6			10	15
17	09 25 52	48,4	102,8			A			9	8
19	23 49 55	55,87	110,00			6			9	14
20	07 42 05	56,00	114,00			6			10	2
21	05 44 37	56,05	114,73			6			9	14
22	16 46 37	48,0	103,1			A			9	8
23	02 44 35	51,0	98,0			A			9	1
Февраль										
1	23 45 47	53,8	145,2			A			9	18
4	20 42 47	53,63	108,17			6			9	5
6	01 34 07	51,88	101,11			a			10	21
7	03 37 02	56,45	118,48			b			9	20
7	02 28 40	56,26	114,94			6			9	16
8	16 50 02	56,00	113,73			a			11	9
8	24 15 28	52,65	107,81			6			9	13
9	23 13 26	59,5	120,3			A			9	9
11	02 56 14	52,20	106,50			6			9	9
12	13 19 22	48,2	102,9			A			10	8
13	18 05 38	55,27	113,25			6			9	17
13	03 23 32	55,32	113,25			a			9	17
15	05 42 20	55,29	113,27			b			9	17
18	01 45 41	48,5	103,0			6			10	5
19	02 57 46	49,4	96,3			A			9	8
21	10 03 12	52,43	106,82			6			10	3
23	20 58 03	56,4	120,9			A			10	22
24	03 34 38	55,25	111,17			6			15	15
25	23 42 18	49,4	116,7			A			9	24
26	05 42 20	52,79	100,47			6			9	2
27	08 09 26	55,99	143,99			a			9	16
28	08 49 26	54,42	108,68			6			9	10
	09 08 40	56,06	113,72			b			9	16
	10 29 27	55,32	113,31			6			9	17
	12 53 19	55,26	113,35			b			9	17
	03 47 04	52,4	98,7			A			11	4
	23 24 32	53,4	98,3			A			9	1
Март										
1	01 48 40	56,6	120,9			A			9	22
5	08 09 37	48,4	108,70			6			11	8
8	10 35 24	54,80	109,85			A			9	16
9	10 48 55	56,5	120,9			6			9	10
11	15 38 04	52,46	106,70			6			9	22
14	18 40 06	56,6	120,9			A			9	3
	00 35 10	51,46	99,66			6			11	4
	21 43 33	52,5	98,1			A			9	1

(продолжение)

№	Дата	Момент возвинчива-	Координаты апшерона	Глубина на оча-		Класс	М	К*	№	Ко-	Макросейсмические
				φ° N	λ° E	га, км					данные
12	11 27 12	55,68	112,46	10	16	10	4	6	1	21	См. текст
13	07 53 37	55,36	113,48	9	17	9	4	6	1	21	
14	12 07 00	54,36	110,62	6	15	9	4	6	1	21	
15	24 29 40	53,93	109,17	6	9	15	4	6	1	21	
17	13 41 35	54,77	114,08	6	9	15	4	6	1	21	
15	15 08 54	58,4	119,6	4	11	13	4	6	1	21	
16	08 49	56,83	118,08	6	9	24	4	6	1	21	
21	09 26 31	55,27	114,17	6	10	15	4	6	1	21	
22	23 30 28	53,14	98,43	6	10	1	4	6	1	21	
23	23 06 51	56,23	112,00	4	9	19	4	6	1	21	
1	24 09 43 12	52,46	106,67	6	12	9	4	9	1	21	
26	00 32 40	56,78	118,40	6	9	24	4	6	1	21	
28	01 03 20	56,72	118,02	6	10	21	4	6	1	21	
2	01 45 40	48,4	103,0	4	9	8	4	6	1	21	
29	09 44 57	52,20	105,92	6	14	6	4	6	1	21	
30	09 58 58	52,23	105,84	6	10	6	4	6	1	21	
31	10 17 33	52,23	105,89	6	9	6	4	6	1	21	
29	12 36 33	52,24	105,91	6	10	6	4	6	1	21	
30	15 42 16	52,22	105,86	6	11	6	4	6	1	21	
31	16 23 47	52,22	105,94	6	9	6	4	6	1	21	
30	22 27 43	56,44	117,29	6	9	6	4	6	1	21	
30	05 55 42	50,7	98,21	4	9	24	4	6	1	21	
31	06 30 33	50,7	98,21	4	9	1	4	6	1	21	
31	04 36 42	53,88	109,06	6	9	9	4	6	1	21	
31	19 54 25	52,21	105,93	6	10	6	4	6	1	21	
	22 24 56	52,23	105,86	6	10	6	4	6	1	21	

Иркутск, 2—3 б.
Иркутск, 2 б.

Апрель

4	00 08 15	52,22	106,00	9	6	1	4	6	1	21	
2	19 38 22	51,7	96,2	4	10	1	4	6	1	21	
3	18 02 34	53,63	108,45	6	9	15	4	6	1	21	
4	14 44 25	56,05	113,54	6	10	16	4	6	1	21	
5	12 09 52	48,6	103,2	4	9	8	4	6	1	21	
6	14 33 05	49,8	97,6	4	9	4	4	6	1	21	
7	06 15 45	56,49	113,35	6	6	9	4	6	1	21	
8	14 56 04	52,22	106,00	6	6	9	4	6	1	21	
9	24 38 42	56,20	116,49	6	6	16	4	6	1	21	
12	00 33 25	54,64	102,09	6	6	20	4	6	1	21	
12	04 47 48	53,47	109,02	6	6	23	4	6	1	21	
15	16 48 32	53,8	124,7	6	6	9	4	6	1	21	
18	14 30 27	56,00	113,96	6	6	16	4	6	1	21	
18	12 18 44	52,22	105,90	6	6	14	4	6	1	21	
19	18 24 06	51,77	104,92	6	6	9	4	6	1	21	
21	11 50 12	52,49	105,96	6	6	10	4	6	1	21	
23	19 43 42	54,30	110,08	6	6	9	4	6	1	21	
23	10 17 01	52,37	106,28	6	6	9	4	6	1	21	
24	04 55 08	51,60	99,69	6	10	3	4	6	1	21	
25	04 47 37	56,4	124,0	4	10	3	4	6	1	21	
27	13 02 44	50,6	96,7	4	10	1	4	6	1	21	
29	02 50 46	51,88	100,42	6	9	5	4	6	1	21	

Иркутск, 2 б.

Листяняка, 2 б.

3	15	12 54 36	49,1	45	4	6	5,6	10	1	21	
		20 50 12	56,84	45	6	6	5,6	10	1	21	
		20 58	56,84	45	6	6	5,6	10	1	21	
		21 01	56,84	45	6	6	5,6	10	1	21	
		21 07 13	56,84	45	6	6	5,6	10	1	21	
		21 10 02	56,88	45	6	6	5,6	10	1	21	
		21 35 44	56,83	45	6	6	5,6	10	1	21	
		22 07 46	56,94	45	6	6	5,6	10	1	21	
		22 24 26	56,67	45	6	6	5,6	10	1	21	
		22 32 52	56,84	45	6	6	5,6	10	1	21	
		17 40 37	56,87	45	6	6	5,6	10	1	21	
		17 47 93	56,86	45	6	6	5,6	10	1	21	
		03 40 33	56,86	45	6	6	5,6	10	1	21	
		04 29 47	56,89	45	6	6	5,6	10	1	21	
		14 56 43	56,82	45	6	6	5,6	10	1	21	
		12 04 01	56,84	45	6	6	5,6	10	1	21	
		04 29 17	56,85	45	6	6	5,6	10	1	21	
		20 55 32	53,31	45	6	6	5,6	10	1	21	
		08 45 22	54,97	45	6	6	5,6	10	1	21	
		16 48 53	52,20	45	6	6	5,6	10	1	21	
		08 03 52	56,4	45	6	6	5,6	10	1	21	
		15 54 29	56,88	45	6	6	5,6	10	1	21	
		16 44 26	56,86	45	6	6	5,6	10	1	21	
		05 36 15	56,4	45	6	6	5,6	10	1	21	
		05 14 17	52,20	45	6	6	5,6	10	1	21	
		09 38 32	55,34	45	6	6	5,6	10	1	21	
		09 40 52	55,32	45	6	6	5,6	10	1	21	
		11 02 48	54,74	45	6	6	5,6	10	1	21	
		20 19 33	53,31	45	6	6	5,6	10	1	21	
		25 09 50 09	53,35	45	6	6	5,6	10	1	21	
		25 09 50 28	53,35	45	6	6	5,6	10	1	21	
		27 17 04 37	52,67	45	6	6	5,6	10	1	21	
		30 20 34 09	49,6	45	6	6	5,6	10	1	21	
		30 23 53 29	48,0	45	6	6	5,6	10	1	21	
		31 13 38 36	54,06	45	6	6	5				

(продолжение)

№	Дата	Момент возникновения, ч. м. с.	Координаты эпицентра		Глубина очага, км	Классичность	Глубина очага, км	Момент возникновения, ч. м. с.	№ района	Макросейсмические данные
			φ° N	λ° E						
16	20 12 18	54.96	111.97	6	10	17	6	13 06 44	53.39	108.28
18	21 45 15	52.82	106.73	6	9	9	8	13 07 54	53.39	108.28
20	14 44 40	50.09	102.85	6	9	8	6	13 09 06	53.39	108.23
	21 40 32	56.80	117.68	6	10	21	6	16 51 35	53.39	108.17
22	05 55 27	56.6	121.0	4	9	22	6	18 17 40	53.38	108.18
25	06 22 36	56.6	124.1	4	9	1	6	18 23 24	53.39	108.20
26	00 58 40	52.09	98.50	6	9	1	6	18 27 29	53.39	108.20
	10 11 39	55.84	110.64	6	9	14	6	18 53 30	53.39	108.14
27	14 18 38	48.3	102.8	4	9	8	6	22 19 43	53.41	108.20
	14 48 38	48.3	102.8	6	9	9	6	22 59 36	53.36	108.20
8	03 27 13	54.99	111.97	6	9	17	9	04 03 15	48.0	103.92
8	22 54 21	55.23	111.22	4	10	8	14	22 56 24	56.45	117.47
	49 58 24	48.4	102.7	6	9	21	15	21 25 24	53.66	119.22
13	20 20 03	56.84	117.69	6	9	16	16	13 43 57	49.3	96.6
	00 57 13	56.43	118.79	6	9	15	17	17 48 32	55.85	110.44
15	13 55 26	54.86	111.16	6	9	17	18	03 36 03	53.64	108.30
	01 03 26	54.96	111.95	6	9	10	23	20 47 26	54.94	114.32
16	15 40 52	55.25	109.33	6	9	14	26	23 52 38	55.14	113.10
	19 02 40	55.77	110.34	a	9	14	27	03 20 51	50.2	97.8
20	15 20 20	50.7	110.24	a	9	9	28	04 43 20	51.73	104.91
	07 00 33	56.50	97.0	a	9	1				
21	08 48 41	56.50	117.85	a	9	21	6			
	14 28 06	56.23	113.96	6	9	10	6			
24	18 43 48	56.00	113.66	6	9	10	6			
	12 42 30	56.86	117.73	a	9	9	6			
27	08 35 46	52.48	105.87	6	9	10	6			
31										

Июль

Август

См. текст

Сентябрь

См. текст

Октябрь

Ноябрь

Декабрь

Январь

Февраль

Март

Апрель

Май

Июнь

Июль

Август

Сентябрь

Октябрь

Ноябрь

Декабрь

Январь

Февраль

Март

Апрель

Май

Июнь

Июль

Август

Сентябрь

Октябрь

Ноябрь

Декабрь

Январь

Февраль

Март

Апрель

Май

Июнь

Июль

Август

Сентябрь

Октябрь

Ноябрь

Декабрь

Январь

Февраль

Март

Апрель

Май

Июнь

Июль

Август

Сентябрь

Октябрь

Ноябрь

Декабрь

Январь

Февраль

Март

Апрель

Май

Июнь

Июль

Август

Сентябрь

Октябрь

Ноябрь

Декабрь

Январь

Февраль

Март

Апрель

Май

Июнь

Июль

Август

Сентябрь

Октябрь

Ноябрь

Декабрь

Январь

Февраль

Март

Апрель

Май

Июнь

Июль

Август

Сентябрь

Октябрь

Ноябрь

Декабрь

Январь

Февраль

Март

Апрель

Май

Июнь

Июль

Август

Сентябрь

Октябрь

Ноябрь

Декабрь

Январь

Февраль

Март

Апрель

Май

Июнь

Июль

Август

Сентябрь

Октябрь

Ноябрь

Декабрь

Январь

Февраль

Март

Апрель

Май

Июнь

Июль

Август

Сентябрь

Октябрь

Ноябрь

Декабрь

Январь

Февраль

Март

Апрель

Май

Июнь

Июль

Август

Сентябрь

Октябрь

Ноябрь

Декабрь

Январь

Февраль

Март

(окончание)

№	Дата	Момент возникно- вения, ч. м. с.	Координаты аппаратуры		Глуби- на оче- стки га, км	Класс точно- сти	M	K*	№ района	Макросетевые данные
			φ° N	λ° E						
9	05 00 50	51,90	98,00		6	4	11	4		
10	10 52 53	48,1	101,3		4	9	9	3		
	14 47 08	48,3	102,9		4	9	8			
	16 27 28	48,4	101,4		4	9	3			
13	08 45 06	52,64	106,95		6	9	9	9		
17	03 14 30	56,27	111,84		6	9	9	14		
18	04 51 58	52,9	107,0		4	9	9	10		
20	01 40 39	55,49	109,82		6	9	9	8		
	21 51 27	55,91	110,43		6	9	9	14		
21	06 33 57	52,04	105,53		6	10	6			
	17 24 58	55,29	113,34		6	10	6			
22	13 29 24	54,8	110,2		4	9	9	11		
27	12 18 56	48,0	103,0		4	9	9	8		
	17 24 03	56,27	115,02		a	9	9	20		
28	18 37 45	52,19	105,84		6	9	9	6		
29	21 47 47	52,18	105,84		6	9	9	6		
	23 59 46	52,9	106,7		4	9	9	9		
30	09 14 48	55,80	112,92		6	9	9	9		
					6	16				

Дегабры

1	18 49 35	54,07	140,87		6	45				
2	15 26 19	50,6	97,3		4	9	1			
4	09 52 52	48,2	103,1		4	9	8			
5	07 06 54	53,36	109,78		6	15				
6	04 46 09	49,1	103,2		4	9	8			
15	04 51 40	49,0	102,9		4	9	9			
17	22 11 44	56,38	111,27		6	10	16			
19	06 40 13	53,8	113,55		6	10	16			
20	15 07 50	49,2	96,1		4	9	23			
21	17 32 50	56,6	120,9		4	9	4			
22	22 37 49	55,97	113,99		6	11	16			
23	06 49 28	48,2	103,2		4	10	8			
	01 14 47	51,4	119,8		4	9	19			
27	02 43 50	52,49	105,84		6	10	6			
29	23 33 48	48,1	102,7		4	9	8			
	20 43 25	54,83	111,14		6	9	5			
30	00 09 32	54,74	104,24		a	10				
					6	15				

Монды, 4 б.

* Оценка K дана по nomogramme T. G. Raupnak